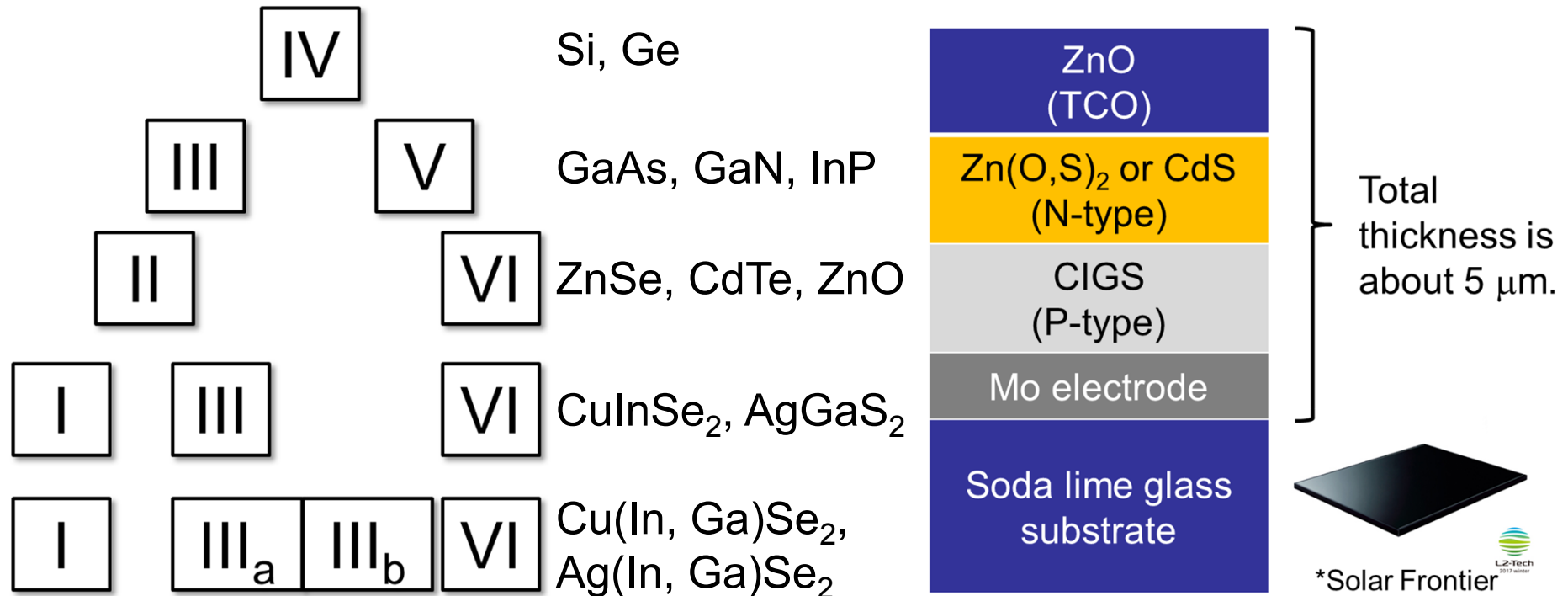


# III-V族半導体基板上 Epitaxial CIGS太陽電池の開発

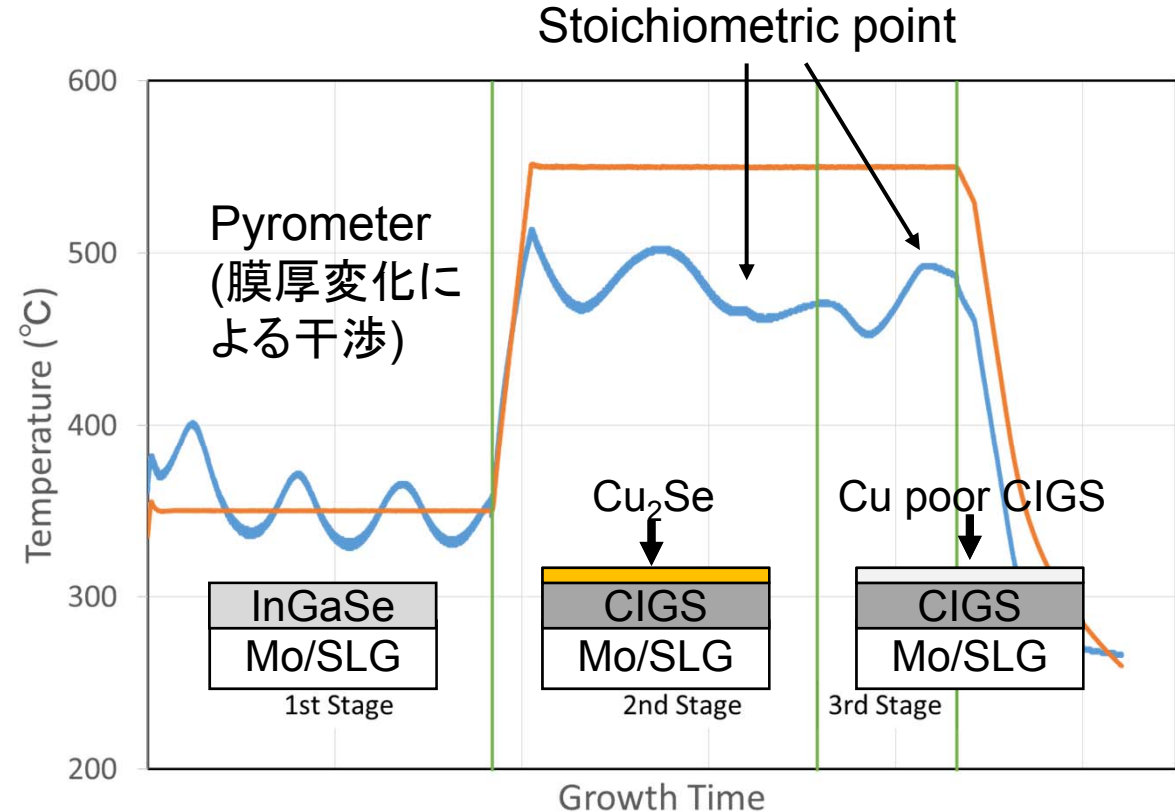
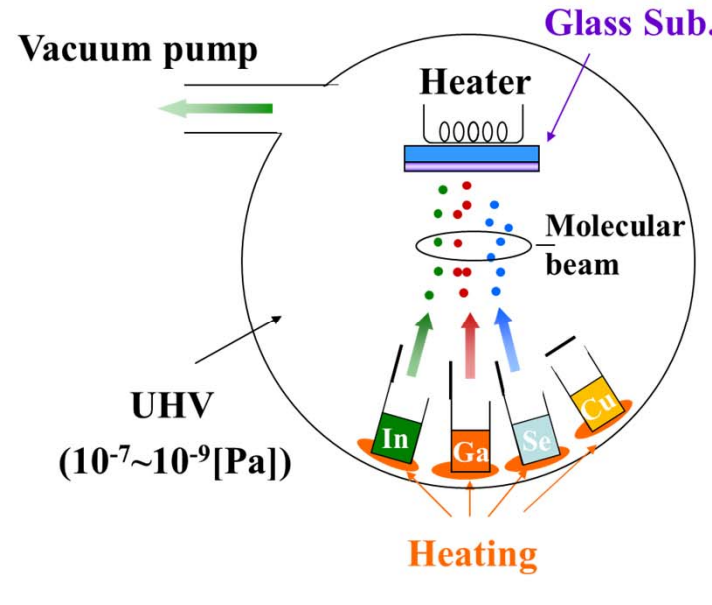
国立研究開発法人 産業技術総合研究所  
太陽光発電研究センター  
化合物薄膜チーム、先進多接合デバイスチーム  
西永慈郎、石塚尚吾、菅谷武芳

# Cu(In,Ga)Se<sub>2</sub> (CIGS)太陽電池

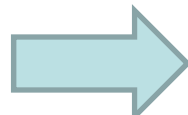


- I - III - VI<sub>2</sub>族化合物半導体( I -VI: イオン結合、III-VI: 共有結合)
- 欠陥による伝導型制御(アクセプタ型欠陥(V<sub>I</sub>)、ドナー型欠陥(V<sub>VI</sub>))
- ヘテロ構造によるデバイス応用(ドーピングが困難、ヘテロ界面急峻性制御)
- 結晶粒界の不活性化、Metastability(光励起、熱励起)の存在

# The 3-stage evaporation of CIGS

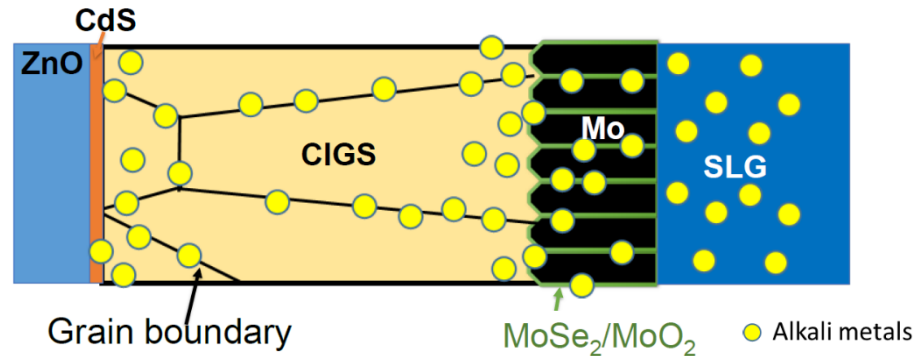
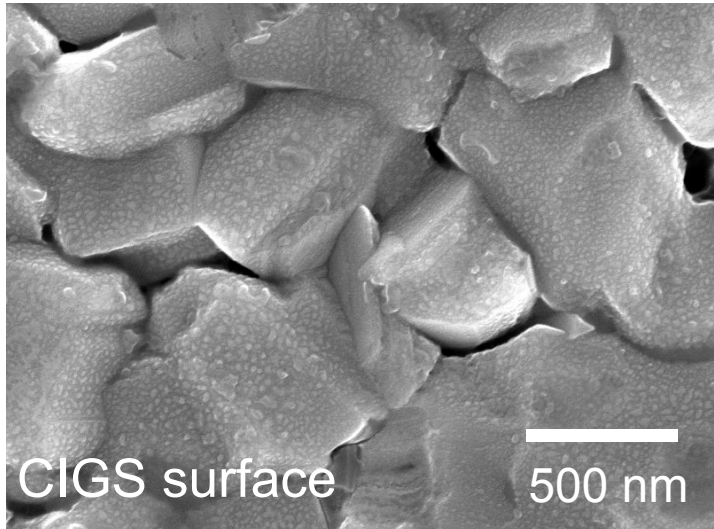


1st stage: In, Ga, Se  
2nd stage: Cu, Se  
3rd stage: In, Ga, Se

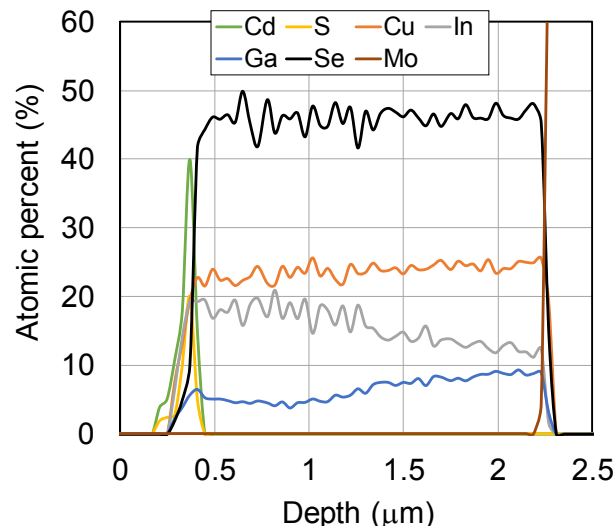
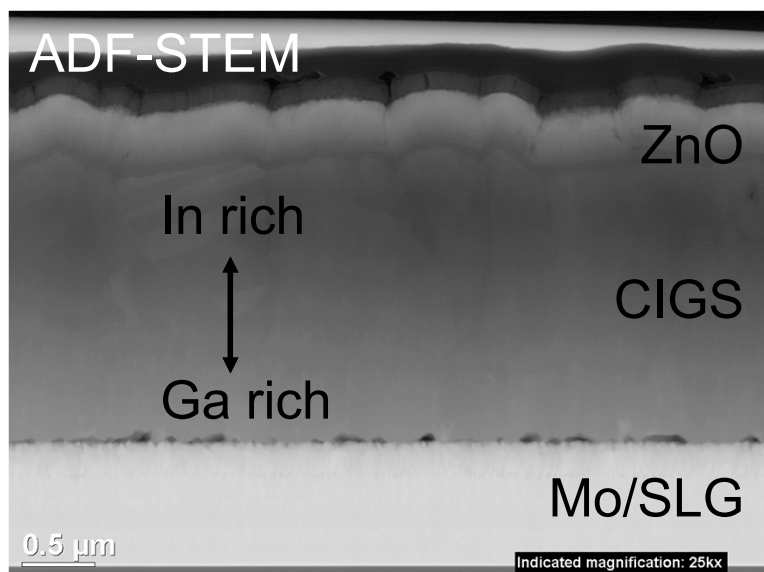


1st stage:  $(\text{In}, \text{Ga})_2\text{Se}_3$   
2nd stage:  $\text{Cu}(\text{In}, \text{Ga})\text{Se}_2 + \text{Cu}_2\text{Se}$   
3rd stage:  $\text{Cu}(\text{In}, \text{Ga})\text{Se}_2 + \text{Cu}(\text{In}, \text{Ga})_3\text{Se}_5$

# SEM, STEM images and EDX



*Alkali metals passivate recombination centers.*

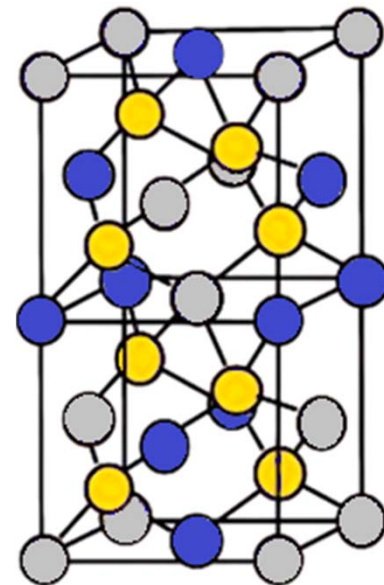


Cu<sub>2</sub>Seへの溶解度の違いによって、In, Ga組成に勾配が発生する

変換効率23.4%  
(WR、ソーラーフロンティア社)を達成

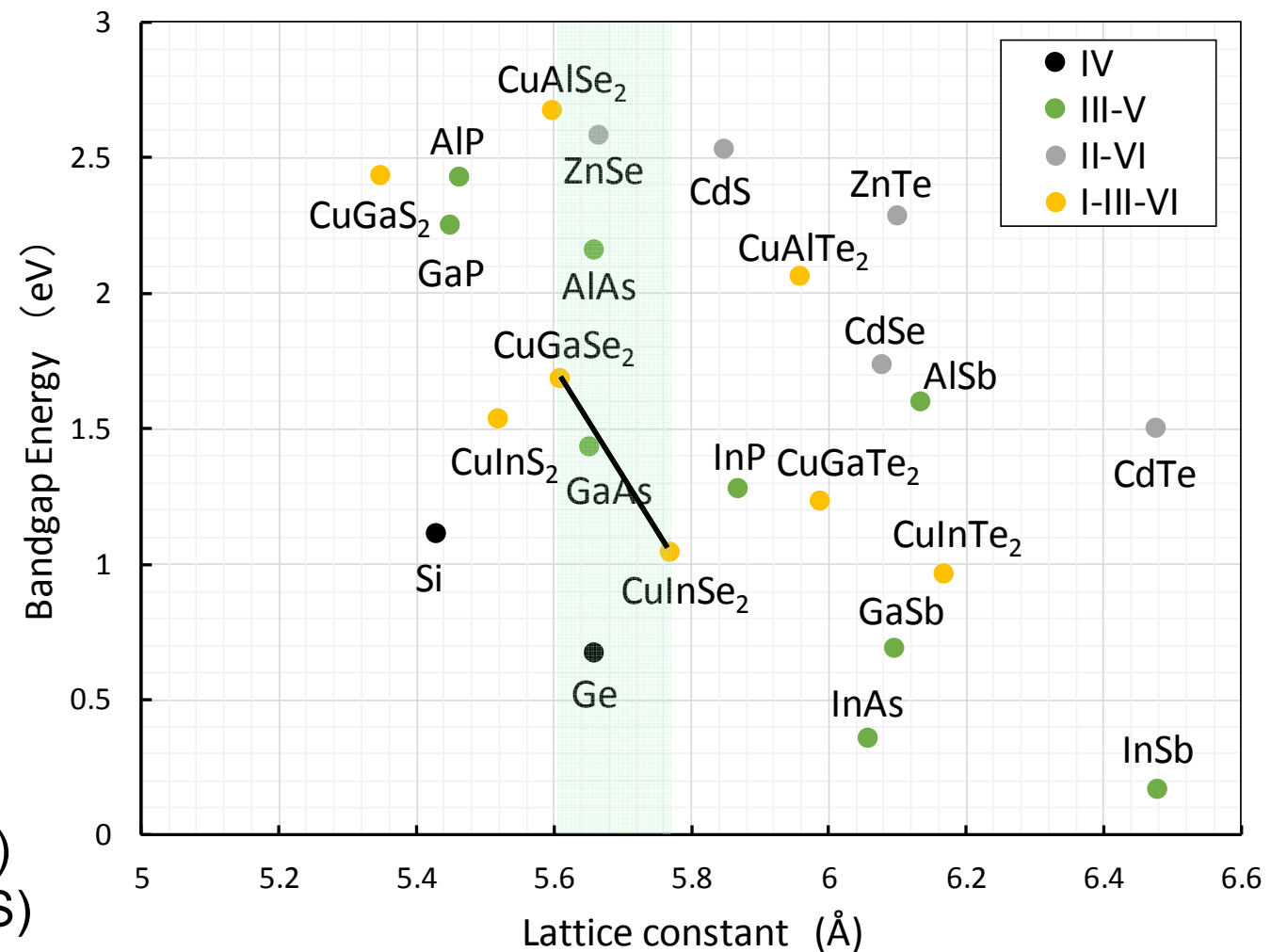
# Lattice constant and Band-gap

Chalcopyrite structure

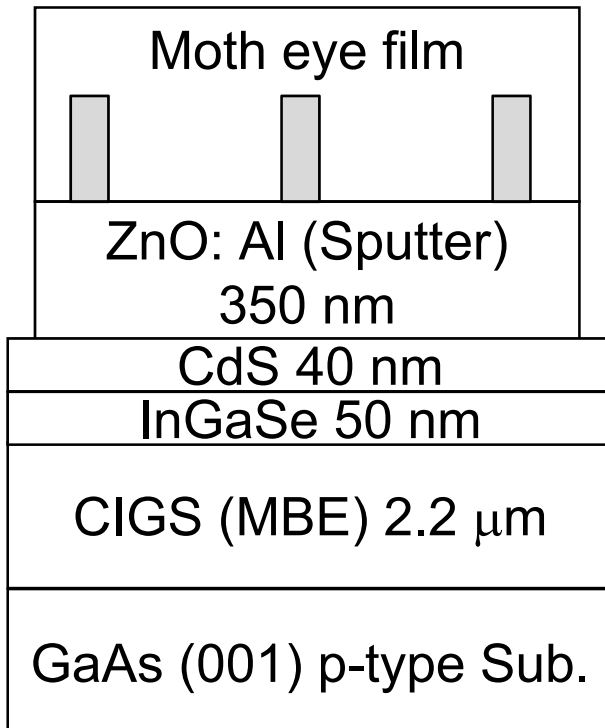


- Cu
- In, Ga
- Se

a axis: 5.76 Å (CIS)  
c axis: 11.59 Å (CIS)



# Epitaxial CIGS太陽電池の開発



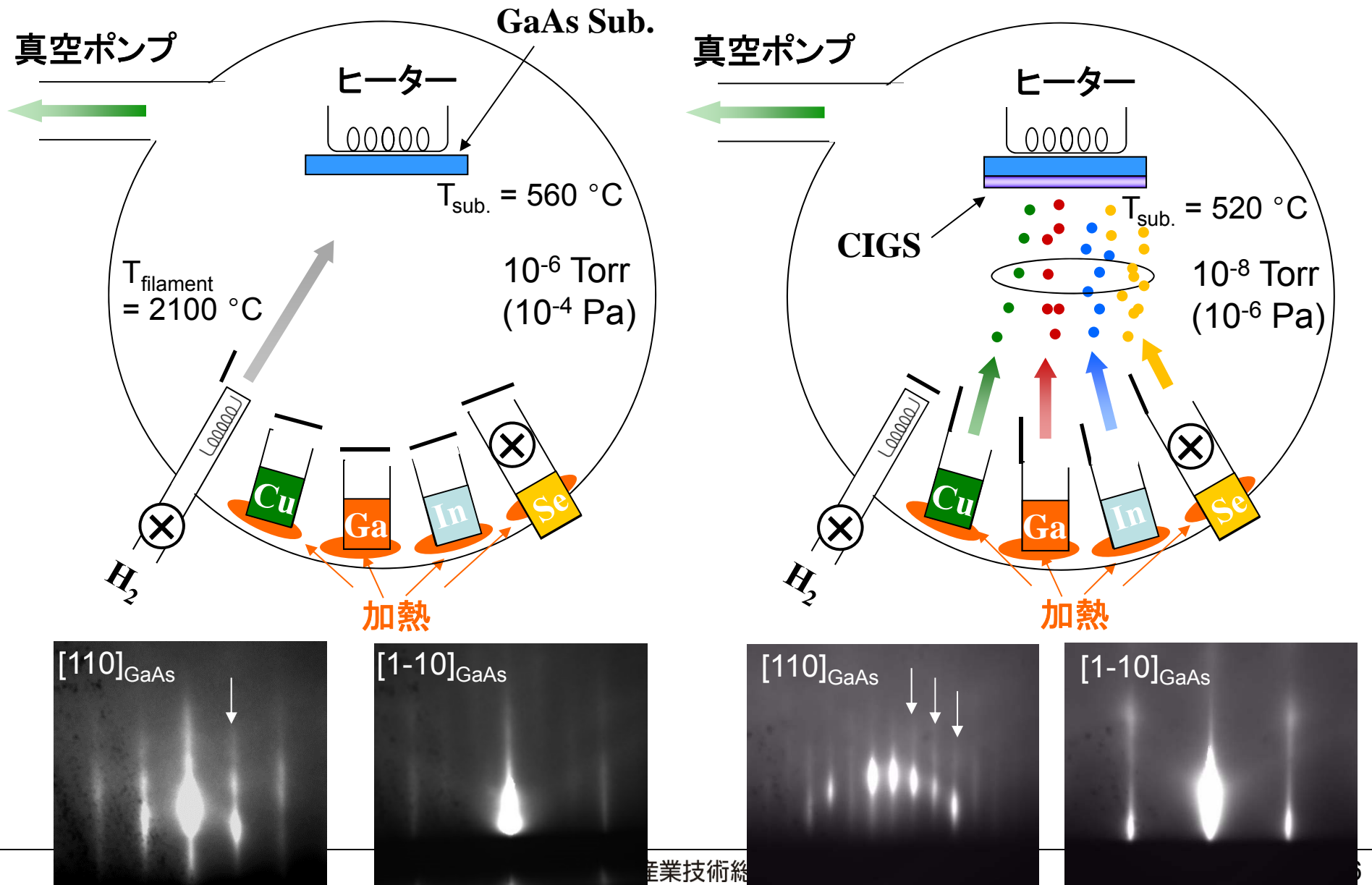
## CIGS solar cells

- Molecular beam epitaxy,  $T_{\text{sub}}=520^{\circ}\text{C}$   
(Same deposition: Cu, In, Ga, Se)
- $E_g=1.2 \text{ eV}$  (GGI:0.3), Cu濃度: 0.85–1.5
- アルカリ金属添加(Na doping, KF-PDT)
- CdS/AZO/Cr-Ag grid (Area: 0.2 cm<sup>2</sup>)

## Measurements

- SEM, STEM
- I-V curves and C-V measurements

# 成膜法(基板表面処理、CIGS成膜)



# Beam Equivalent Pressure (BEP)

$$\frac{J_i}{J_{Ga}} = \frac{P_i \eta_{Ga}}{P_{Ga} \eta_i} \sqrt{\frac{T_i M_{Ga}}{T_{Ga} M_i}}$$

$$\frac{\eta_i}{\eta_{N_2}} = \left( \frac{0.6 Z_i}{14} + 0.4 \right)$$

$P_i$ : Beam equivalent pressure

$M_i$ : Relative molecular mass

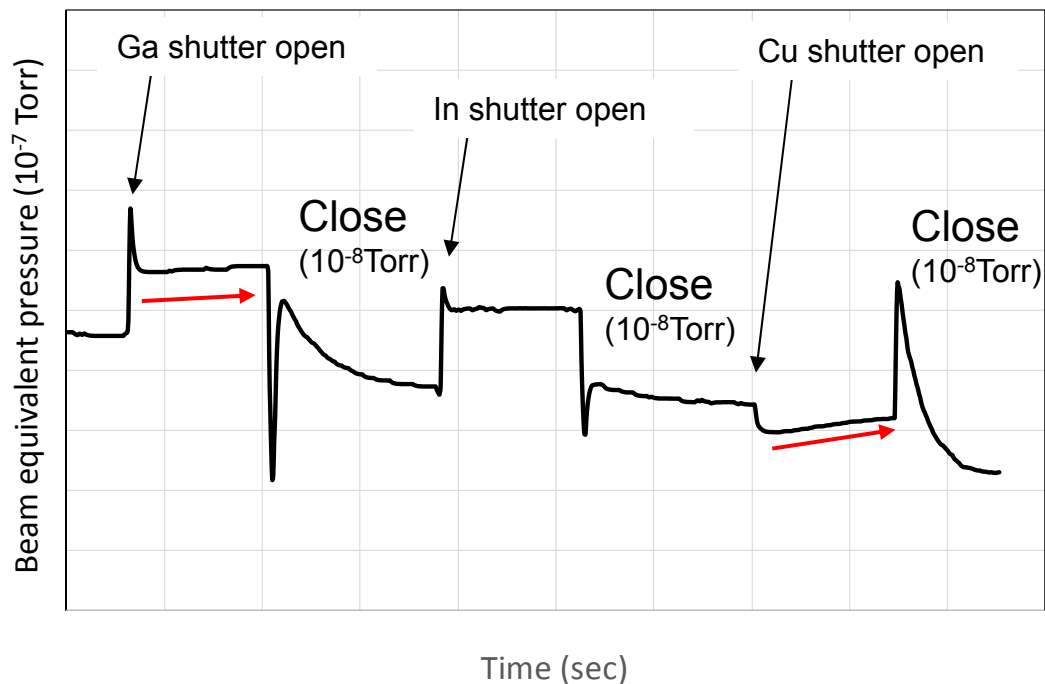
$T_i$ : Absolute cell temperature

$\eta_i$ : ionization efficiency

$Z_i$ : number of electrons

- $T_{Ga} = 945^{\circ}\text{C}$ ,  $P_{Ga} = 3.22 \times 10^{-7}$  Torr
- $T_{In} = 745^{\circ}\text{C}$ ,  $P_{In} = 2.82 \times 10^{-7}$  Torr

- $T_{Cu} = 1180^{\circ}\text{C}$ ,  $P_{Cu} = 1.33 \times 10^{-7}$  Torr (CGI was measured by EPMA)

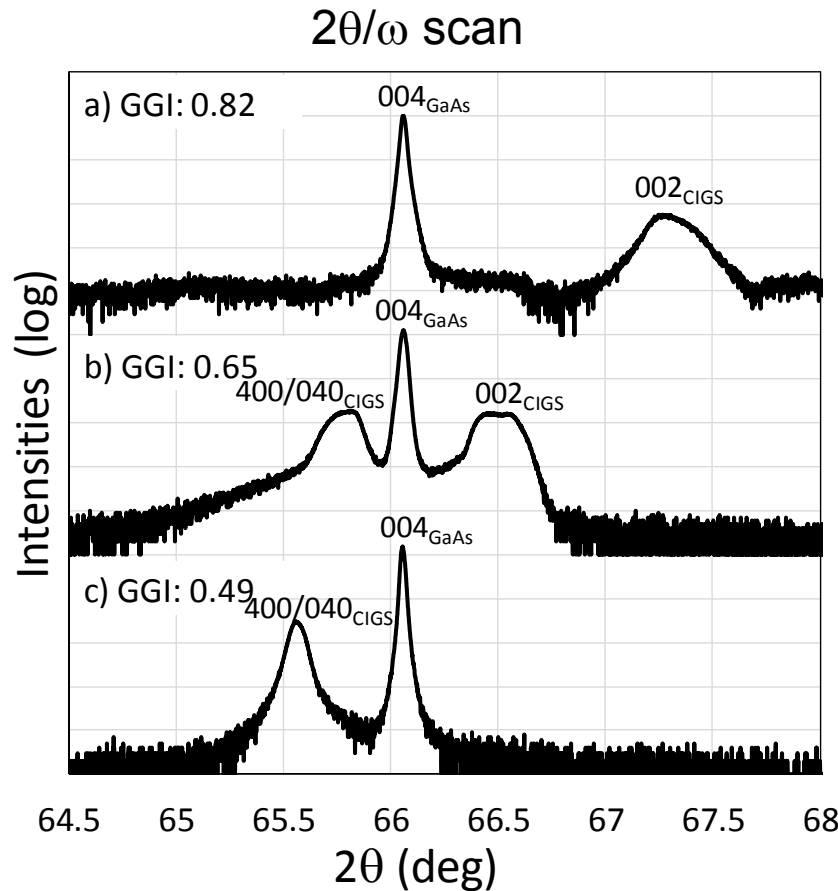


$$BEP = BEP_{open} - BEP_{close} - BEP_{extra}$$

$$GGI_{flux} = 0.7$$

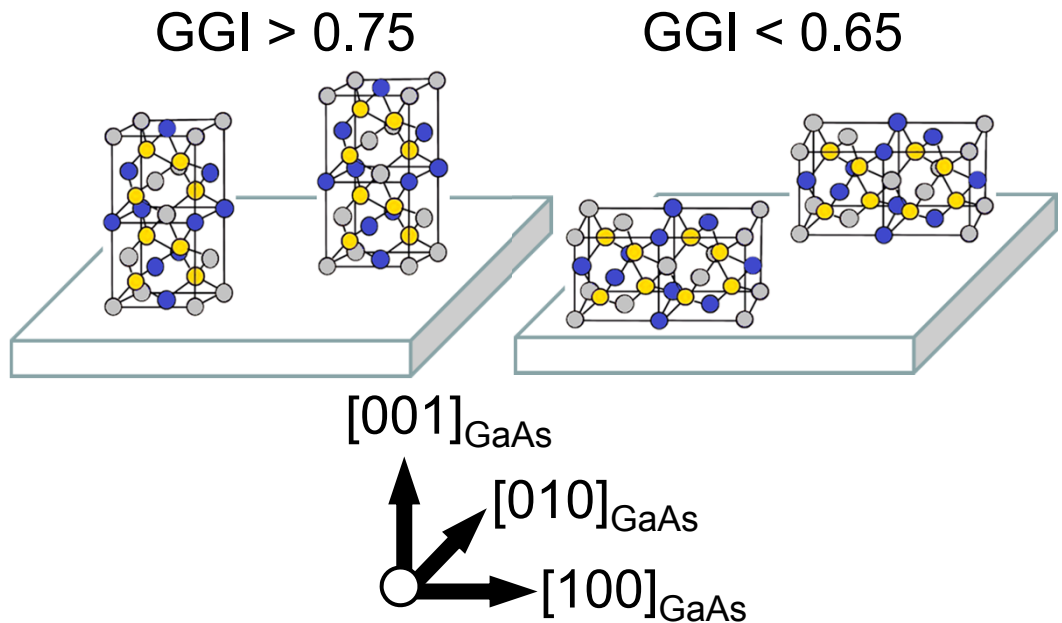
$$CGI = 0.80$$

# Epitaxial Orientation of CIGS

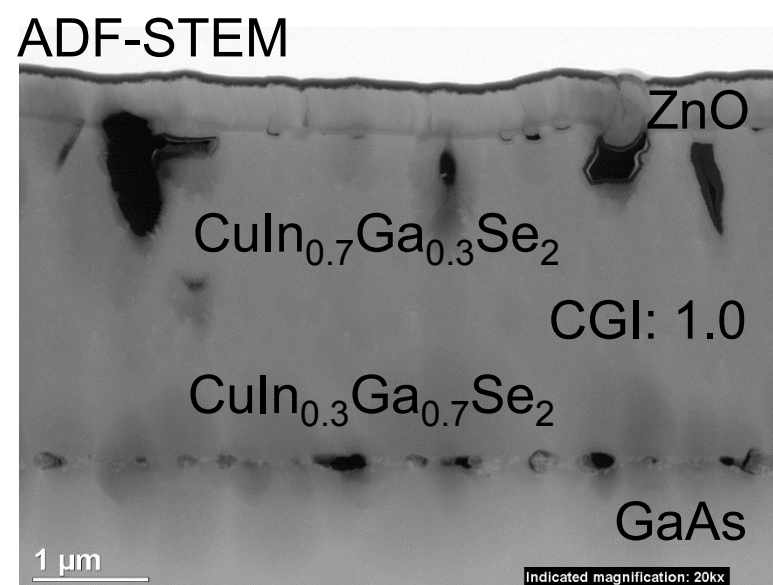
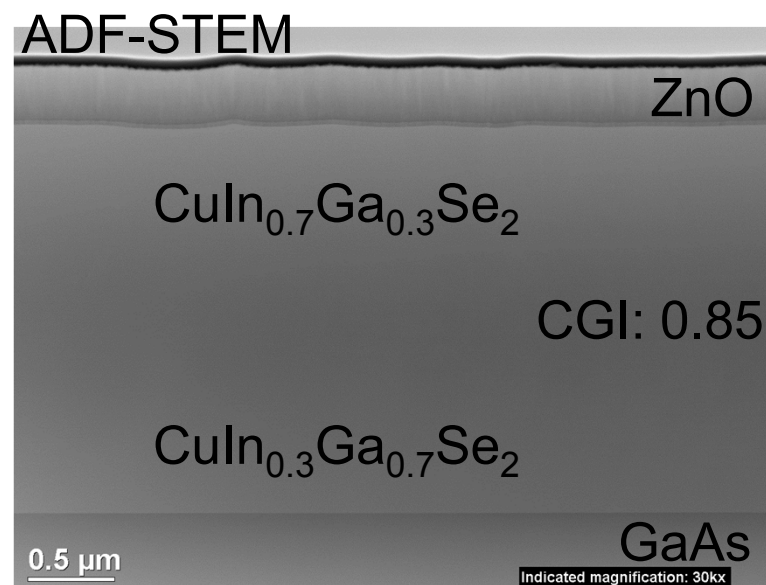
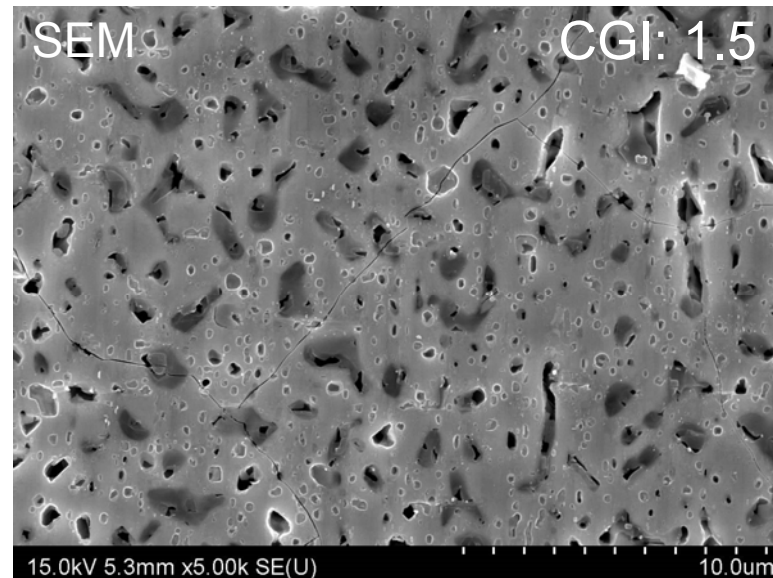
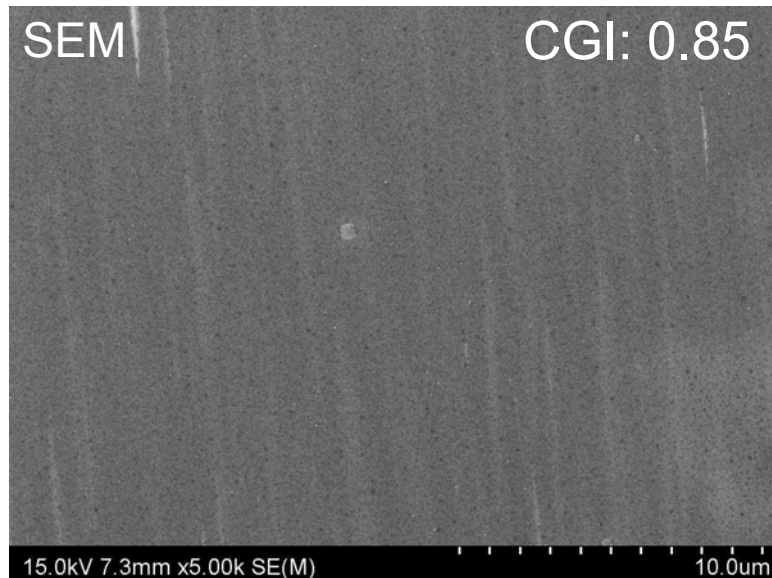


GaAs (zinc blende)  
 $a = b = c = 5.65 \text{ \AA}$

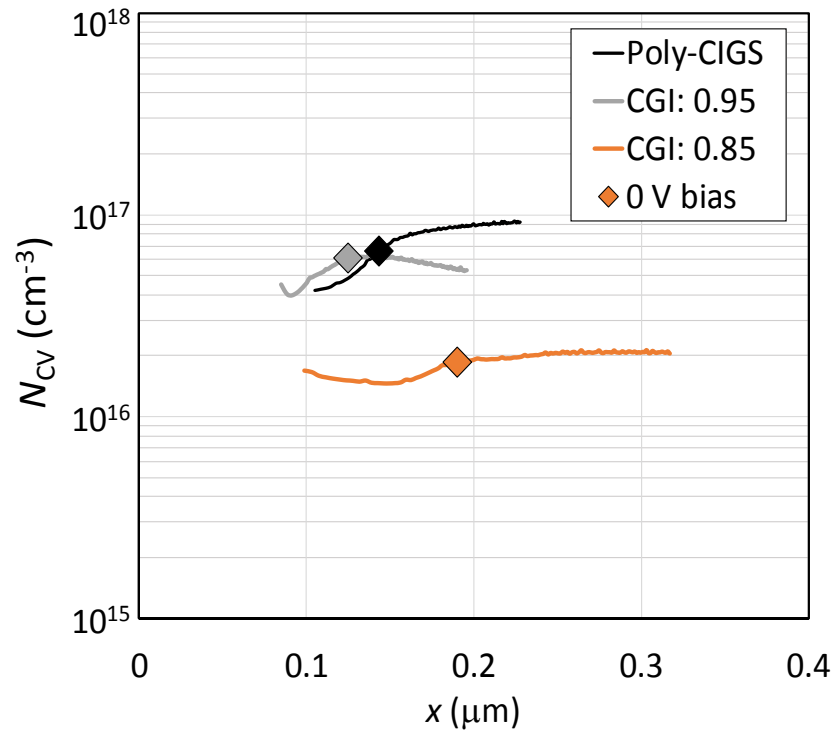
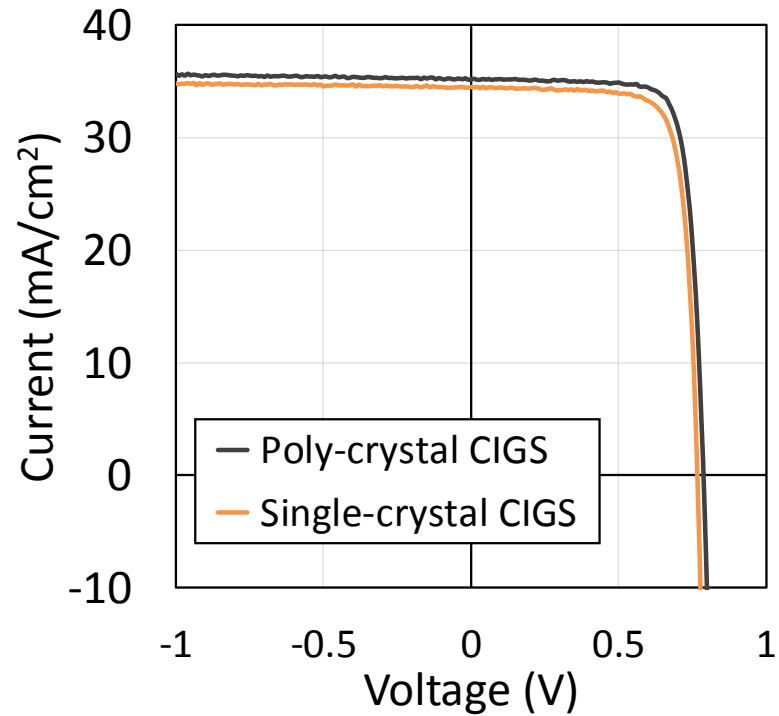
- $\text{GGI} > 0.75 \quad [002]_{\text{CIGS}} // [001]_{\text{GaAs}}$   
 $\text{GGI} = 0.8: a = b = 5.65 \text{ \AA}, c/2 = 5.57 \text{ \AA}$
- $\text{GGI} < 0.65 \quad [100]_{\text{CIGS}} // [001]_{\text{GaAs}}$   
 $[010]_{\text{CIGS}} // [001]_{\text{GaAs}}$   
 $\text{GGI} = 0.5: a = b = 5.69 \text{ \AA}, c/2 = 5.65 \text{ \AA}$



# Cu poor CIGS or Cu rich CIGS

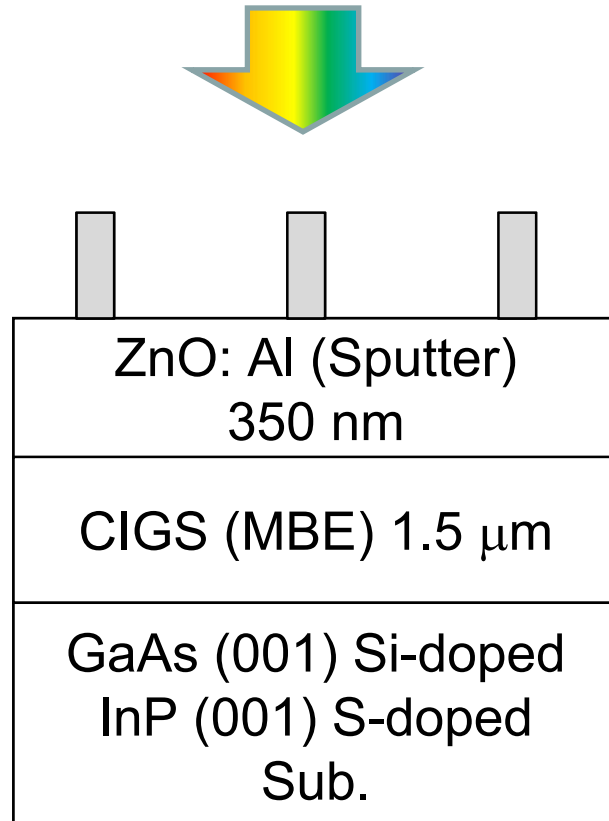


# $J$ - $V$ curves and $N_{CV}$ profiles



	Eff. (%)	$V_{oc}$ (V)	$J_{sc}$ ( $\text{mA}/\text{cm}^2$ )	FF	$R_{sh, \text{dark}}$ ( $\Omega\text{cm}^2$ )	$R_{ser, \text{dark}}$ ( $\Omega\text{cm}^2$ )	$N_{cv,0V}$ ( $\text{cm}^{-3}$ )	$J_{0,\text{dark}}$ ( $\text{mA}/\text{cm}^2$ )	$n_{\text{dark}}$
CGI: 0.85	20.9	0.767	34.5	0.789	$1 \times 10^5$	0.08	$2 \times 10^{16}$	$4 \times 10^{-9}$	1.3
CGI: 0.95	16.7	0.737	33.2	0.683	26000	0.5	$6 \times 10^{16}$	$1 \times 10^{-6}$	1.7
Poly-CIGS	22.1	0.786	35.1	0.800	5700	0.34	$7 \times 10^{16}$	$3 \times 10^{-9}$	1.3

# CIGS / n-type III-V族化合物半導体



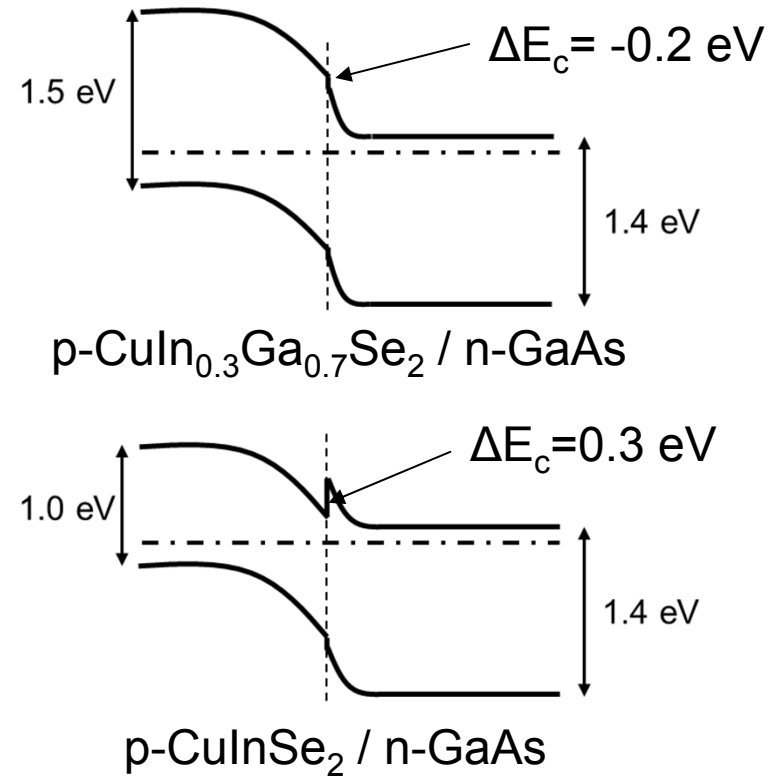
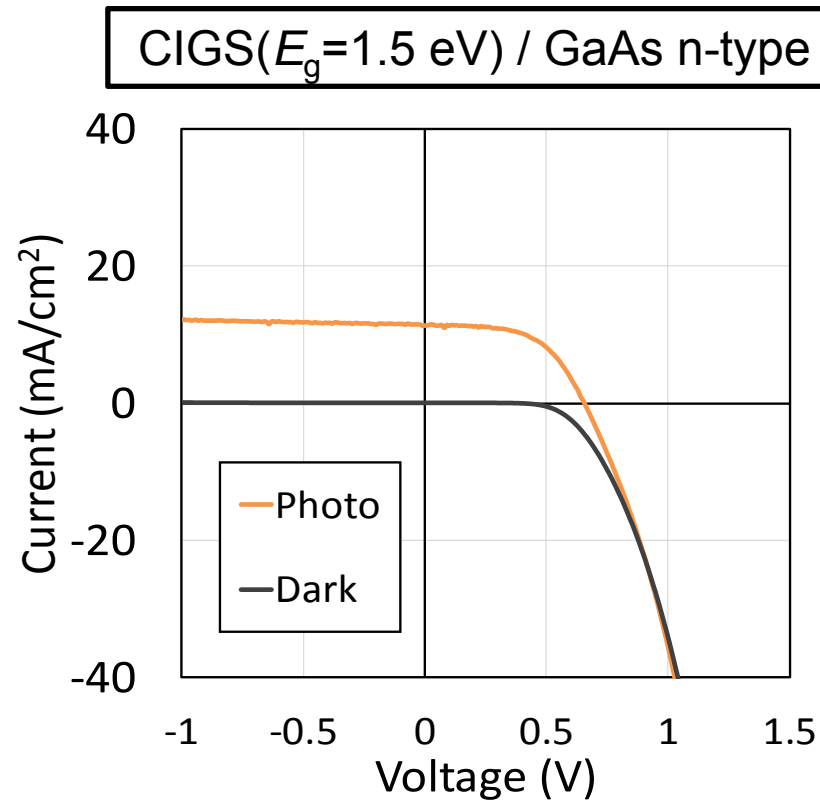
## CIGS solar cells

- Molecular beam epitaxy  
(Same deposition: Cu, In, Ga, Se)
- $E_g = 1.1, 1.5 \text{ eV}$ , Cu濃度: 0.85
- $T_{\text{Sub}} = 480 - 520^\circ\text{C}$
- NaF doping
- AZO/Cr-Ag grid (Area: 0.25  $\text{cm}^2$ )

## Measurements

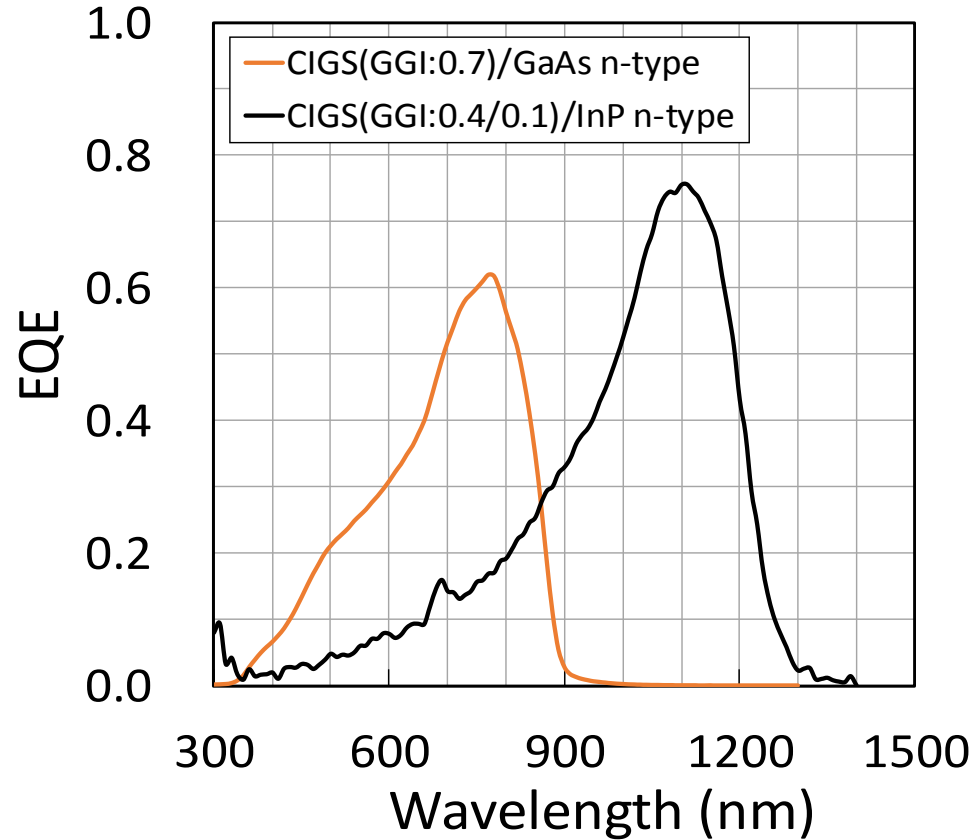
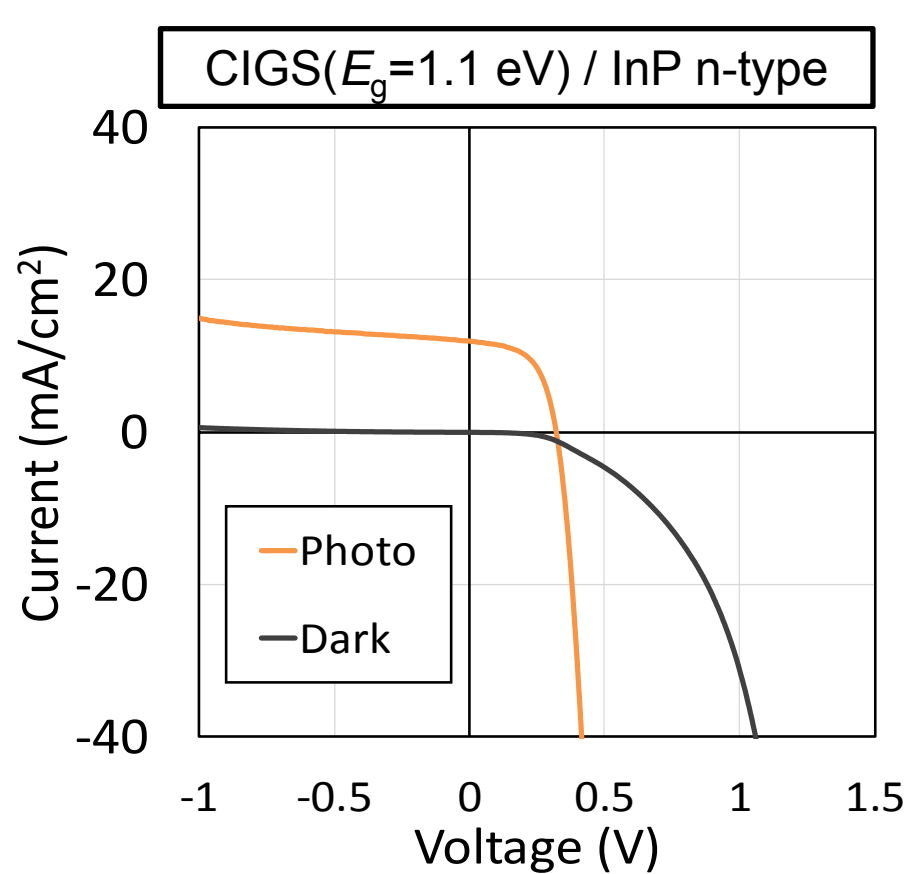
- $I$ - $V$  curves and EQE

# CIGS / GaAs n-type

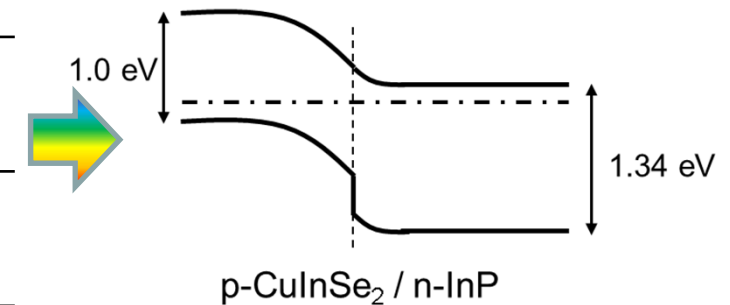


	Eff. (%)	$V_{oc}$ (V)	$J_{sc}$ (mA/cm <sup>2</sup> )	FF
GGI: 0.7	4.2	0.655	11.3	0.57
GGI: 0.4/0.1	0.0	0.0	0.0	-

# 低Ga濃度CIGS / InP n-type



	Eff. (%)	$V_{oc}$ (V)	$J_{sc}$ (mA/cm²)	FF
CIGS(GGI:0.4/0.1) / InP n-type	2.2	0.322	12.0	0.56



# まとめ

## ◆ I – III – VI<sub>2</sub>族化合物半導体の組成制御

- ・相分離を利用した気相・固相成長、組成制御
- ・CIGS系の特徴は、薄膜太陽電池応用に最適

## ◆ III – V 族化合物半導体/CIGSヘテロ構造

- ・格子定数、組成、界面反応の制御が重要
- ・電子親和力でバンド構造を説明可能

謝辞: 本研究は経済産業省「革新的なエネルギー技術の国際共同研究開発事業」により実施されたものである。関係各位に感謝致します。